

شبیه‌سازی مونت کارلو یک دستگاه پرتوودهی نوترونی به منظور تعیین بازده آشکارسازهای نوترون‌های حرارتی

احمد شیرانی* و حسن وثوقیان

دانشکده فیزیک، دانشگاه صنعتی اصفهان، اصفهان، ایران.

* اصفهان، دانشگاه صنعتی اصفهان، دانشکده فیزیک، کد پستی: ۸۴۱۵۶-۸۳۱۱۱

پست الکترونیکی: shirani@cc.iut.ac.ir

چکیده

در این تحقیق یک دستگاه پرتوودهی نوترونی شامل ۶ چشمۀ نوترون $^{241}Am-Be$ واقع در یک محیط گرافیتی، که شاری به نسبت بالا و یکنواخت از نوترون‌های حرارتی را در مرکز سیستم تأمین می‌کند، شبیه‌سازی شده و شار نوترون‌های حرارتی به دست آمده در مرکز سیستم از روش شبیه‌سازی با شار تجربی، که در حفره‌ای در مرکز یک سیستم مشابه اندازه‌گیری شده، مقایسه شده است. تطابق بسیار خوب نتایج حاصل از شبیه‌سازی با نتایج تجربی نشان می‌دهد که با روش شبیه‌سازی می‌توان شار واقعی نوترون‌ها را در یک چنین سیستمی (یا هر سیستم پرتووده‌ی دیگری) به طور دقیق محاسبه و از آن برای کالیبره کردن آشکارسازها و دزیمترهای نوترون‌های حرارتی استفاده کرد. برای انجام محاسبات از MCNP استفاده شده است. به این منظور در ابتدا شار نوترون‌های حرارتی ناشی از یک چشمۀ نوترون در یک محیط گرافیتی در فواصل مختلف از چشمۀ محاسبه گردیده و سپس محاسبات برای حالت‌های حضور ۲، ۴، و ۶ چشمۀ نوترون در محیط گرافیت انجام و نتایج آن مورد بحث و بررسی قرار گرفته است. همچنین به منظور تحقیق بر روی اثر خواص کندکنندگی محیط بر روی توزیع شار نوترون‌ها در این سیستم، به موازات انجام محاسبات در محیط گرافیت، محاسبات برای محیط آب هم انجام شده که نتایج نشان می‌دهند محیط آب، به عنوان یک کندکننده، برای طراحی چنین دستگاهی مناسب نیست.

کلیدواژگان: شبیه‌سازی مونت کارلو، کد MCNP، نوترون‌های حرارتی، بازده آشکارسازهای نوترون، تابش دهی نوترونی.

۱. مقدمه

حرارتی می‌باشد، بیشتر مراکز اتمی [۱-۵] با استفاده از چشمۀ نوترونی اقدام به طراحی و ساخت سیستم‌های نموده‌اند که شار مورد نظر را در فاصله‌های مناسب از چشمۀ نوترونی (که بتوان آشکارسازها و دزیمترها را به راحتی در آن-

از آنجا که کالیبره کردن آشکارسازهای نوترون‌های حرارتی نیازمند داشتن شار کاملاً شناخته شده و ثابتی از نوترون‌های

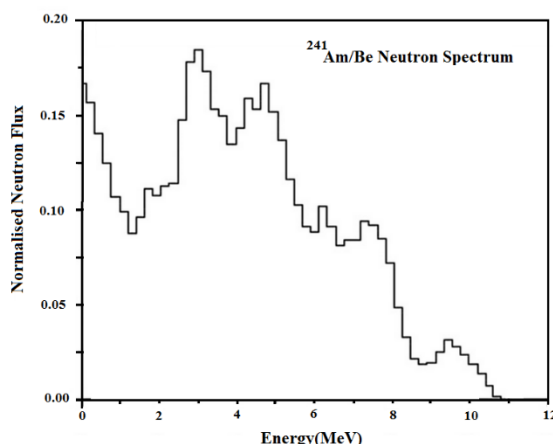
انجام شد. از آنجا که ساخت چنین سیستمی مستلزم چشممهای نوترونی بیشتر و همچنین توده‌های گرافیتی با درجه خلوص هسته‌ای بود و امکان تهیه آنها در زمان انجام این تحقیق فراهم نشد، سیستم پرتووده‌ی نوترونی موجود در مرکز تحقیقات اتمی BHABHA [۱] (که یک سیستم پرتووده‌ی استاندارد با کندکننده گرافیت می‌باشد و نتایج تجربی مشخصی هم دارد) به عنوان مرجع در این پژوهش قرار داده شد تا بتوان با مقایسه نتایج تجربی آن سیستم با نتایج محاسبات خود، درستی نتایج شبیه‌سازی را مورد بررسی قرار داد. همچنین به جهت تحقیق روی نحوی کندکنندگی محیط‌های مختلف، بررسی در دو محیط آب و گرافیت انجام گرفت که جزئیات آن در ادامه ارائه می‌شود.

۲. معرفی سیستم پرتووده‌ی نوترون مرکز اتمی

BHABHA

همان‌طور که در بخش مقدمه اشاره شد، سیستم پرتووده‌ی نوترونی موجود در مرکز تحقیقات اتمی BHABHA به عنوان مرجع کار حاضر قرار داده شد. این سیستم، (شکل ۱) از یک شبکه گرافیتی به ابعاد $152\text{ cm} \times 163\text{ cm} \times 122\text{ cm}$ شامل ۳۸۴ میله‌ی گرافیتی مکعب مستطیل شکل هر کدام به ابعاد $10\text{ cm} \times 10\text{ cm} \times 75\text{ cm}$ تشکیل شده است. داخل شش عدد از میله‌های گرافیتی که متحرک هستند حفره‌هایی مکعب مستطیل شکل هر یک به ابعاد $15\text{ cm} \times 5\text{ cm} \times 5\text{ cm}$ تعییه شده است، از این حفره‌ها به منظور قرار دادن چشممهای نوترون در داخل شبکه استفاده می‌شود. همچنین یک حفره دیگر (با همان ابعاد) در میله‌ی گرافیت مرکزی (۰)، که آن هم متحرک است، تعییه شده که به عنوان محل پرتووده‌ی نمونه‌ها در نظر گرفته می‌شود.

جا قرار داد) فراهم می‌کنند. معمولاً پس از طراحی و ساخت سیستم پرتووده‌ی مورد نظر، لازم است با استفاده از آشکارسازهایی با بازده معلوم (و یا سایر روش‌ها از جمله روش فعالسازی نوترونی) شار واقعی نوترون‌ها در محل پرتووده‌ی اندازه‌گیری شود تا با استفاده از آن بتوان بازده یک آشکارساز مجھول را تعیین کرد. در سال‌های اخیر با پیشرفت فیزیک محاسباتی و توسعه و تکمیل کدهای کامپیوتری، (که ترابرد تابش‌های هسته‌ای را به نسبت دقیقی شبیه‌سازی می‌کنند) استفاده از روش‌های شبیه‌سازی جهت تعیین شار واقعی نوترون‌ها در نقاط مختلف سیستم‌های پرتووده‌ی مورد توجه قرار گرفته است [۸-۶]. لذا با توجه به اهمیت موضوع، در این پژوهش از روش شبیه‌سازی و با استفاده از کد محاسباتی MCNP [۹] شار واقعی نوترون‌ها برای یک سیستم پرتووده‌ی نوترونی محاسبه و با نتایج تجربی مقایسه شد. در این راستا در مرحله اول از یک چشممه نوترون $^{241}Am-Be$ ²⁴¹ از نوع ۱۴.X با فعالیت پنج کوری [۱۰] استفاده شد. این چشممه در مرکز یک مخزن استوانه‌ای شکل از جنس استیل که از آب پر شده بود، قرار داشت و امکان اندازه‌گیری شمارش نوترون‌های حرارتی در فاصله‌های مختلف از این چشممه توسط یک آشکارساز نوترون از نوع BF_3 وجود داشت. بنابراین شمارش نوترون‌های حرارتی در فاصله‌های مختلف از چشممه اندازه‌گیری شد و با نتایج شبیه‌سازی مقایسه گردید که سازگاری بسیار خوبی را نشان داد. شرح مفصل این اندازه‌گیری‌ها و چگونگی استفاده از این نتایج برای کالیبره کردن آشکارسازها در مرجع [۱۱] و نتایج آن در مرجع [۱۲] گزارش شده‌اند. در مرحله بعد همین تحقیقات برای سیستمی با چشممه‌های نوترون بیشتر و کندکننده گرافیت که دارای طول کندشدگی بزرگتری نسبت به آب است و معمولاً در این نوع سیستم‌ها به عنوان کندکننده مورد استفاده قرار می‌گیرند،



شکل (۳): طیف انرژی چشممه_i $[10]$ $(^{241}\text{Am} - \text{Be})$.

از آنجاکه در کار تجربی انجام شده در مرجع [۱] از چشممه‌های نوع X.3 استفاده شده است، به همین دلیل از چشممه مذکور در شبیه‌سازی استفاده شد که دارای شدت $\frac{n}{S}$ می‌باشد. در جدول‌های ۲ و ۳ سایر مشخصات این چشممه ارائه شده‌اند.

جدول (۲): ترکیبات موجود در چشممه $(^{241}\text{Am} - \text{Be})$ نوع X.3 $[10]$.

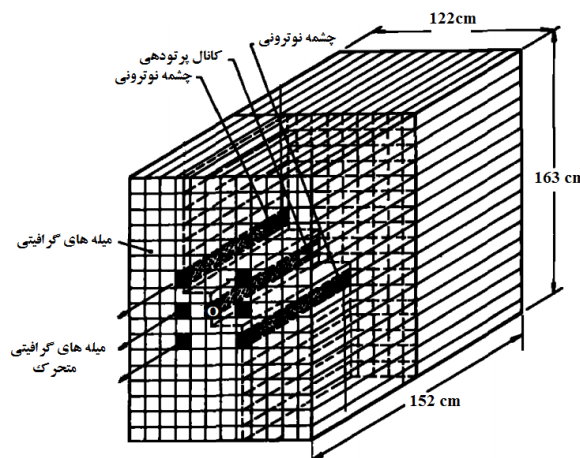
Be	O	^{241}Am	چگالی	نوع ترکیب
			درصد وزنی عناصر (%)	
۹۹/۳۳	۰/۲۲	۰/۴۴	۱/۲۶	ترکیب پودری $\text{AmO}_2\text{-Be}$

جدول (۳): ترکیبات تشکیل‌دهنده کپسول چشممه نوع X.3 $[10]$.

Si	Mn	Mo	Ni	Cr	Fe	چگالی	نوع ترکیب
						(g/cm^3)	
۱	۲	۲/۵	۱۲	۱۷	۶۵/۵	۷/۹۲	STEEL 316

۴. چگونگی انجام کار و ارائه نتایج

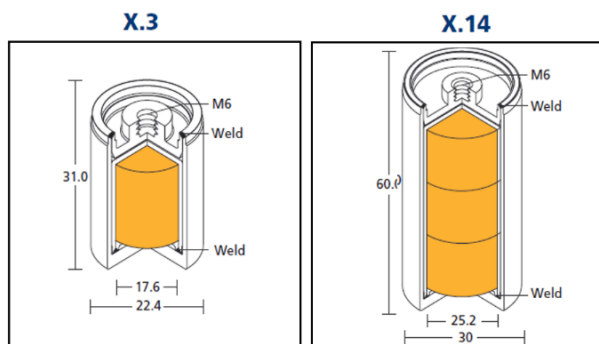
در ابتدا برای بررسی نحوه کندشدن نوترون‌ها از دو محیط مختلف گرافیت و آب استفاده شد. لذا یک چشممه نوترون از نوع



شکل (۱): سیستم پرتووده‌ی نوترون مرکز اتمی BHABHA [۱].

۳. معرفی خصوصیات چشممه‌های نوترون و مواد به کار رفته در شبیه‌سازی

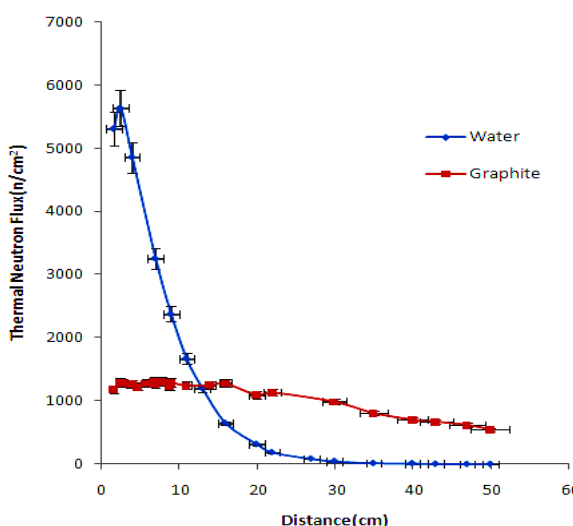
شکل ۲ نوع و ابعاد چشممه‌های نوترون مورد استفاده در شبیه‌سازی [۱۰] و شکل ۳ طیف انرژی چشممه‌ی نوترون $^{241}\text{Am}/\text{Be}$ را نشان می‌دهد. در جدول ۱ بهره‌ی نوترون این چشممه‌ها نیز آورده شده است (در شکل ۲ ابعاد بر حسب میلی‌متر می‌باشند).



شکل (۲): چشممه‌های نوترون $[10]$.

جدول (۱): شدت چشممه‌های نوترون $[10]$.

Nominal activity GBq	Emission Ci	n/s	Capsule
۱۸/۵	۰/۵	$1/1 \times 10^{-7}$	X.3
۳۷	۱	$2/2 \times 10^{-7}$	X.3
۱۸۵	۵	11×10^{-7}	X.14



شکل (۴): مقایسه تغییرات شار نوترون‌های حرارتی بر حسب فاصله از مرکز چشمۀ درگرافیت و آب.

با فاصله گرفتن از چشمۀ، نوترون‌ها مسافت بیشتری را در محیط طی می‌کنند و طی پراکندگی‌های متعدد انرژی آن‌ها به ناحیه حرارتی می‌رسد. پس از اینکه نوترون‌ها حرارتی شدند در محیط شروع به پخش می‌کنند و در طی فرآیند پخش، توسط محیط جذب می‌شوند. طول کندشدگی، یکی از ثابت‌های مربوط به محیط‌های کندکننده است که مربع آن با نماد L_s^2 نشان داده می‌شود و یک ششم متوسط مربع مسافتی است که نوترون‌ها در حین کندشدن از انرژی شکافت تا انرژی حرارتی طی می‌کنند:

$$L_s^2 = \frac{I}{6} \langle r_s^2 \rangle \quad (1)$$

ثابت دیگر طول پخش می‌باشد که مربع آن با نماد L^2 نشان داده می‌شود و یک ششم متوسط مربع فاصله‌ای است که نوترون‌ها از نقطه حرارتی شدن تا نقطه جذب در محیط طی می‌کنند:

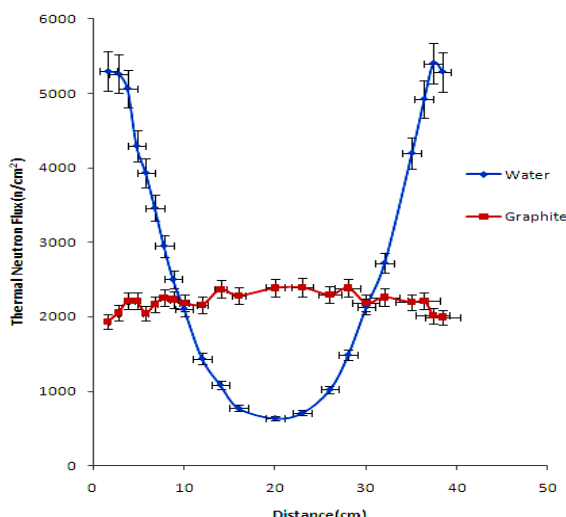
$$L^2 = \frac{I}{6} \langle r^2 \rangle \quad (2)$$

X.3 [۱۰] را در یک محیط گرافیتی با ابعاد $152\text{ cm} \times 163\text{ cm} \times 122\text{ cm}$ و یک چشمۀ نوترون دیگر از همان نوع در محیط پر از آب با همان ابعاد در نظر گرفته شد و شار نوترون‌ها در فواصل مختلف از مرکز چشمۀ و در راستای شعاع چشمۀ در هر دو محیط آب و گرافیت محاسبه شد.

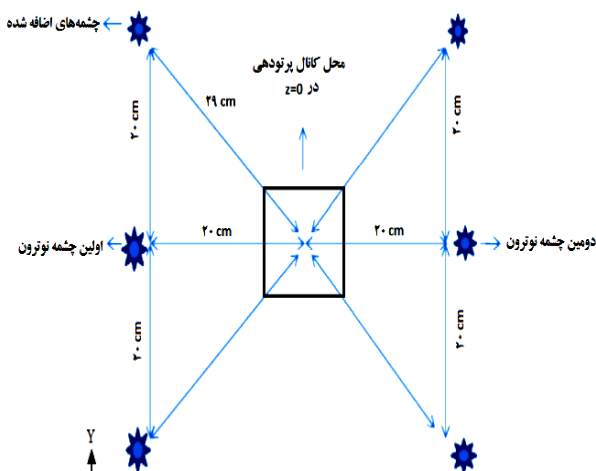
از آنجاکه سطوح مقطع گیراندازی گرافیت و آب به ناخالصی بسیار حساس هستند لذا از گرافیت تجارتی با درجه خلوص هسته‌ای که ناخالصی اندکی دارد استفاده می‌شود [۱۳ و ۱۴]. محاسبه شار نوترون توسط تالی F4 در فایل ورودی MCNP درخواست می‌شود و پس از اجرای برنامه (که معمولاً برای چند میلیون نوترون گسیل شده از چشمۀ اجرا می‌شود) به صورت تعداد نوترون بر سانتی‌مترمربع به ازای یک ذره گسیل شده از چشمۀ در فایل خروجی برنامه چاپ می‌شود، که می‌توان آن را (جهت مقایسه با مقادیر تجربی) در فعالیت چشمۀ (یا چشمۀ‌های) در نظر گرفته شده در برنامه شبیه‌سازی ضرب کرد. نمودارهای تغییرات شار نوترون‌های حرارتی (با انرژی پایین‌تر از 5 eV) در هر دو محیط گرافیت و آب بر حسب فاصله از مرکز چشمۀ در شکل ۴ نشان داده شده‌اند. نوترون‌های حرارتی نوترون‌هایی با محتمل‌ترین انرژی جنبشی 25 eV (کترون‌ولت) در هر دو محیط گرافیت و آب بر اثری ماسکول بولتزمن تبعیت می‌کنند.

این نمودارها را می‌توان به صورت زیر توصیف کرد: نوترون‌های گسیل شده از چشمۀ $^{241}\text{Am}/\text{Be}$ دارای یک طیف انرژی هستند، این چشمۀ در واقع نوترون‌های سریع با میانگین انرژی 4 MeV گسیل می‌کند. بنابراین نوترون‌ها هنگام خروج از چشمۀ، نوترون‌های سریع هستند که با عبور از ماده چشمۀ، حفاظ اطراف چشمۀ و وارد شدن به محیط گرافیت یا آب در اثر پراکندگی توسط اتم‌های محیط شروع به کندشدن می‌کنند.

شد. در شکل ۵ نمودارهای تغییرات شار نوترون در نقاط بین دو چشمۀ بر حسب فاصله از چشمۀ اول و در شکل ۶ موقعیت چشمۀ‌ها نسبت به هم نشان داده شده‌اند.



شکل (۵): تغییرات شار نوترون‌های حرارتی در نقاط بین چشمۀ‌های ۱ و ۲ بر حسب فاصله از چشمۀ اول برای دو چشمۀ نوترون در گرافیت و آب.



شکل (۶): نحوه قرارگیری چشمۀ‌ها در سیستم پرتودهی.

در شکل ۵ مشاهده می‌شود در محیط گرافیت (به دلیل بزرگ بودن طول کندشدگی و طول پخش نوترون‌ها) نوترون‌های حرارتی در تمامی نقاط بین دو چشمۀ حضور دارند و شار نوترون‌ها در سرتاسر این ناحیه تقریباً دو برابر شار نوترون‌های حاصل از یک چشمۀ تنها است، به‌طوری که

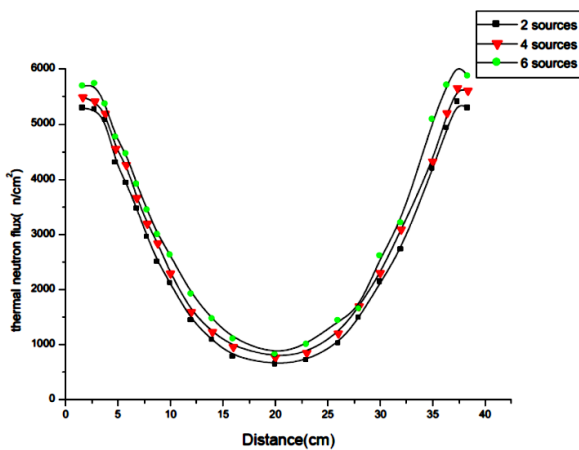
این ثابت‌ها برای دو محیط آب و گرافیت در جدول ۴ نشان داده شده‌اند [۱۵]. در این جدول مشاهده می‌شود که طول کندشدگی و طول پخش نوترون‌ها در محیط گرافیت هستند و مراتب کوچک‌تر از مقادیر متناظر در محیط گرافیت هستند و بنابراین انتظار می‌رود نوترون‌ها در محیط آب در فاصله‌های نزدیک به چشمۀ، حرارتی شوند و پس از آن در فاصله‌های نه چندان دور از چشمۀ جذب شوند، در حالی که در محیط گرافیت نوترون‌ها می‌توانند تا فاصله‌های قابل ملاحظه‌ای از چشمۀ حرارتی شوند و پس از آن تا فاصله‌هایی نسبتاً دور از چشمۀ به پخش ادامه دهند. این آثار در نمودارهای شکل ۴ به وضوح قابل مشاهده هستند. در این شکل مشاهده می‌شود در محیط گرافیت نوترون‌ها تا فاصله ۲۰ سانتی‌متری از چشمۀ حرارتی می‌شوند و پس از آن نوترون‌های حرارتی به پخش در محیط ادامه می‌دهند به‌طوری که بیشتر از ۸۰ درصد آن‌ها همچنان تا فاصله ۳۰ سانتی‌متری از چشمۀ حضور دارند و جذب نمی‌شوند. در حالی که در محیط آب تقریباً تمامی نوترون‌ها تا فاصله ۵ سانتی‌متری از چشمۀ، حرارتی می‌شوند و پس از آن شروع به جذب شدن در محیط آب می‌کنند به‌طوری که بیش از ۹۵ درصد نوترون‌های حرارتی تا فاصله ۲۰ سانتی‌متری از چشمۀ و تقریباً تمامی آن‌ها تا فاصله ۳۰ سانتی‌متری از چشمۀ جذب می‌شوند.

جدول (۴): ثابت‌های پخش و کندشدگی گرافیت و آب

محیط	چگالی $L_s(cm)$	سطح مقطع پراکندگی $\sigma_s(barn)$	سطح مقطع گیراندزی $\sigma_c(barn)$
H_2O	۲۷	۸/۱	۵۰
C	۳۶۸	۲۶۵۰	۴/۷

در ادامه با قرار دادن چشمۀ دیگری در مقابل چشمۀ اول و در فاصله ۴۰ سانتی‌متری از آن، شار نوترون‌ها در هر دو محیط آب و گرافیت در فاصله‌های مختلف از چشمۀ اول محاسبه

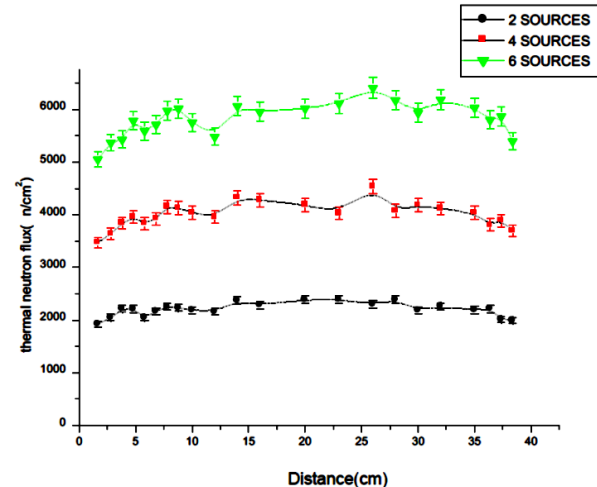
چشمی به ترتیب دو برابر و سه برابر شار نوترون‌ها در حالت حضور دو چشمی است، در حالی که در شکل ۸ مشاهده می‌شود در محیط آب وضعیت کاملاً متفاوت است و حضور ۴ چشمی و ۶ چشمی تأثیری در شار نوترون‌های حرارتی در نقاط بین چشمی های ۱ و ۲ (که فاصله هر یک از این نقاط تا هر یک از چشمی‌های اضافه شده بیشتر از ۲۰ سانتی‌متر است) ندارد و منحنی تغییرات شار نوترون‌های حرارتی در این ناحیه کماکان مشابه منحنی تغییرات شار نوترون‌های حرارتی در حالت دو چشمی (شکل ۵) است.



شکل (۸): مقایسه تغییرات شار نوترون‌های حرارتی در نقاط بین چشمی‌های ۱ و ۲ بر حسب فاصله از مرکز چشمی ۱ در اثر حضور دو، چهار و شش چشمی در محیط آب.

همچنین در شکل ۹ شار نوترون‌های حرارتی (در ناحیه بین چشمی های ۱ و ۲) بر حسب فاصله از چشمی ۱، با حضور شش چشمی نوترون، در دو محیط آب و گرافیت با هم مقایسه شده‌اند. در این شکل بهویژه مشاهده می‌شود که با حضور ۶ چشمی نوترون از نوع X.3 می‌توان در محیط گرافیت به شار نسبتاً بالایی از نوترون‌های حرارتی در حدود ۶۰۰۰ نوترون بر سانتی‌متر مربع بر ثانیه دست یافت که در گستره وسیعی در ناحیه بین چشمی‌ها نیز یکنواخت است و بنابراین می‌توان از آن برای درجه‌بندی آشکارسازها و همچنین پرتوودهی نوترونی نمونه‌های مورد نظر استفاده کرد، در حالی که در محیط آب

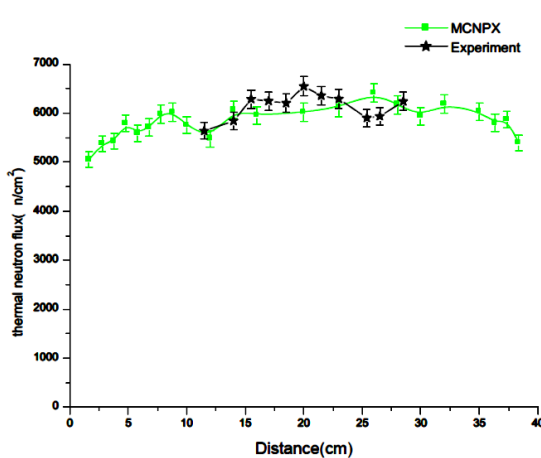
حضور دو چشمی شار یکنواخت و به نسبت بالایی از نوترون‌های حرارتی را در وسط فاصله بین دو چشمی ایجاد می‌کند. در حالی که در محیط آب که طول کندشدگی و طول پخش کوچک است، تنها در نقاط نزدیک به هر چشمی شار نوترون‌های حرارتی بالا است و با دور شدن از هر چشمی شار به شدت کاهش می‌یابد به‌طوری که در وسط فاصله بین دو چشمی (که ۲۰ سانتی‌متر با هر چشمی فاصله دارد) شار ضعیفی از نوترون‌های حرارتی مشاهده می‌شود. با توجه به این امر، جهت افزایش شار نوترون‌ها، ۴ چشمی نوترون دیگر به صورت شکل ۶ (که مطابق با چینش چشمی‌ها در مرجع ۱ است) به سیستم اضافه گردید. در شکل‌های ۷ و ۸ مقایسه‌ای بین تغییرات شار نوترون‌های حرارتی (در نقاط بین چشمی‌های ۱ و ۲ بر حسب فاصله از چشمی اول) با حضور دو، چهار و شش چشمی در دو محیط گرافیت و آب انجام گرفته است.



شکل (۷): مقایسه تغییرات شار نوترون‌های حرارتی در نقاط بین چشمی‌های ۱ و ۲ بر حسب فاصله از مرکز چشمی ۱ در اثر حضور دو، چهار و شش چشمی در محیط گرافیت.

در شکل ۷ مشاهده می‌شود که در محیط گرافیت (با هم به علت بزرگ بودن طول کندشدگی و طول پخش) شار نوترون‌های حرارتی در سرتاسر ناحیه بین چشمی‌های ۱ و ۲ به نسبت بالایی می‌باشد به‌طوری که شار این نوترون‌ها، به‌ویژه در وسط فاصله بین چشمی‌های ۱ و ۲ در حالت حضور ۴ و ۶

(که مطابق با چینش چشمها در مرجع ۱ است) با نتایج تجربی مرجع ۱ مقایسه شده‌اند. در این شکل سازگاری بسیار خوب بین نتایج محاسبات و نتایج تجربی (در نقاطی که اندازه‌گیری‌های تجربی وجود دارند) کاملاً مشهود است، که MCNP نشان می‌دهد با استفاده از روش شبیه‌سازی و کد MCNP می‌توان با دقت بسیار خوبی شار واقعی و به دنبال آن شمارش واقعی نوترون‌ها را در مرکز حفره پرتوودهی محاسبه کرد.



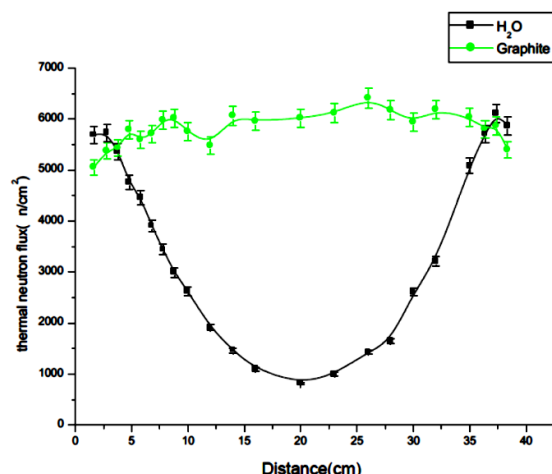
شکل (۱۰): مقایسه نتایج بدست آمده برای شار نوترون‌های حرارتی توسط کد MCNP و نتایج تجربی گزارش شده توسط مرکز اتمی

.[۱] BHABHA

۶. نتیجه‌گیری

با توجه به شکل ۹ چنانچه شش چشم نوترون در یک محیط گرافیتی، مطابق شکل ۱، در مکان‌های (۰۰۰)، (۴۰۰)، (۰۲۰)، (۰۰۲)، (۴۰۰۰)، (۰۰۴) و (۰۴۰) قرار گیرند شار نوترون‌های حرارتی در نواحی مرکزی بین شش چشم، شار یکنواخت و قابل قبولی خواهد بود. مقدار شار نوترون در ناحیه مرکزی بین چشم‌ها (در فاصله‌ی ۲۰ سانتی‌متری از اولین چشم) به حدود $(\frac{n}{cm^2 s}) \pm 6100 \pm 0.3\%$ می‌رسد، که این نتایج با نتایج بدست آمده از اندازه‌گیری‌های تجربی (شکل ۱۰) در مرکز اتمی BHABHA کاملاً سازگار است. به‌ویژه چنانچه دو چشم

تنها در ناحیه نزدیک به چشم‌ها شار نوترون‌های حرارتی نسبتاً بالا می‌باشد که با دور شدن از چشم‌ها این شار به شدت کاهش می‌یابد به طوری که در مرکز حفره پرتوودهی شار نوترون‌های حرارتی حتی با حضور ۶ چشم نوترون از نوع X.3 زیر ۱۰۰۰ نوترون بر ثانیه بر سانتی‌متر مربع است و لذا آب نمی‌تواند به عنوان یک کندکننده مناسب برای این سیستم پرتوودهی مورد استفاده قرار گیرد.



شکل (۹): مقایسه تغییرات شار نوترون‌های حرارتی در نقاط بین چشم‌های ۱ و ۲ بر حسب فاصله از مرکز چشم ۱ در هر دو محیط گرافیت و آب در اثر حضور شش چشم.

۵. مقایسه با نتایج تجربی

همان‌گونه که در بخش مقدمه اشاره شد، نتایج شبیه‌سازی برای حالت یک چشم نوترون در محیط آب با نتایج تجربی مقایسه شدند که گزارش مفصل آن‌ها در مراجع ۱۱ و ۱۲ ارائه شده‌اند. جهت مقایسه نتایج شبیه‌سازی با نتایج تجربی در محیط گرافیت از نتایج مرجع ۱ استفاده شد. در این مرجع شار نوترون‌های حرارتی در فاصله‌های مختلف از مرکز حفره موجود در ستون گرافیتی شکل ۱ (به روش فعال‌سازی نوترونی) اندازه‌گیری و گزارش شده است. در شکل ۱۰ شار نوترون‌های حرارتی بدست آمده به روش شبیه‌سازی بر حسب فاصله از اولین چشم در حالت شش چشم نوترون

استفاده از آشکارسازها شمارش نوترون را در این محل اندازه‌گیری کرد و با استفاده از نسبت شمارش اندازه‌گیری شده به شمارش (واقعی) محاسبه شده، بازده آشکارسازهای مورد نظر را تعیین کرد. همچنین با توجه به شکل ۹ می‌توان نتیجه گرفت که در محیط آب تنها در ناحیه نزدیک به چشمها شار نوترون‌های حرارتی به نسبت بالا می‌باشد که با دور شدن از مرکز حفره پرتودهی شار نوترون‌های حرارتی حتی با حضور ۶ چشم نوترون از نوع $X.3$ زیر 1000 نوترون بر ثانیه بر سانتی‌مترمربع است، و لذا آب نمی‌تواند به عنوان یک کندکننده مناسب برای چنین سیستمی مورد استفاده قرار گیرد.

دیگر در (شکل ۶) در مکان‌های ($۰-۲۰-۲۰$) و ($۰-۲۰-۰$) قرار داده شوند می‌توان شار نوترون‌های حرارتی را در ناحیه مرکزی بین چشمها تا حدود ۱۰^3 نوترون بر ثانیه بر سانتی‌مترمربع بالا برد و نمونه‌های مورد نظر را تا درجه بالایی فعال نمود. لذا می‌توان با ساخت یک توده گرافیتی مشابه شکل ۱ (یا ساخت سیستم‌های نوترونی در آن و ایجاد مراجع ۱ تا ۵) و قرار دادن چشمها در یک حفره در مرکز آن، جهت قرار دادن آشکارسازها یا دزیمتر-های نوترونی، کل سیستم را (با حضور آشکارسازها یا دزیمترها) توسط کد شبیه‌سازی کرد و شمارش واقعی نوترون را در مرکز سیستم محاسبه کرد. از طرف دیگر می‌توان با

۷. مراجع

- [1] M.G. Shahani, D. Sharma. Establishment of a standard thermal-neutron flux density at the BHABHA Atomic Research Centre. (1969).
- [2] V. Lacoste, V. Gresseir, H. Muller and L. Lebreton. Characterisation of the IRSN graphite moderated Americium-Beryllium neutron field. Radiation Protection Dosimetry 110 (2004) 135–139.
- [3] E. Gallego, A. Lorente and H.R. Vega-Carrillo. Characteristics of the neutron field of the facility at DIN-UPM. Radiation Protection Dosimetry 110 (2004) 73–79.
- [4] H. Schuhmacher. International Standards Organization. Neutron calibration facilities. Radiation Protection Dosimetry 110 (2004) 33–42.
- [5] M. Yoshizawa, S. Shimizu, Y. Kajimoto, T. Kawasaki, K. Fujii, J. Saegusa, Y. Tanimura and H. Yamamoto. Present status of calibration facility of JAERI-facility of radiation standards. <http://www.ipen.br/biblioteca/cd/irpa/2004/files/3b46.pdf>.
- [6] V. Lacoste. Design of a new thermal neutron field facility using Mont Carlo simulations. Radiation Protection Dosimetry (2007) 1–6.
- [7] T. Filho, R. Lima. Experimental and Monte Carlo evaluation of the neutron flux of an assembly with two Am-Be sources. Radiation Protection Dosimetry 115 (2005) 412–414.
- [8] J. Zevallos-Chavez, C. Zamboni. Evaluation of the neutron flux distribution in an Am-Be irradiator using The MCNP-4C code. Brazilian Journal of Physics 353B (2005).
- [9] MCNPX User's Manual, Version 2.4.0. LA-CP-02-408 September (2002).
- [10] http://www.srstechnol.com/QSA%20Catalogue/2004_Sources_Catalog_Version_2004-1112.pdf.
- [11] وثوقیان، حسن. تعیین توزیع شار نوترون‌های حرارتی برای چشمها نوترونی در کندکننده‌های گرافیت و آب با استفاده از کد MCNP و تعیین ضریب درجه‌بندی شمارش آشکارسازهای BF_3 . پایان‌نامه کارشناسی ارشد، دانشگاه صنعتی اصفهان، اسفند (۱۳۸۸).
- [12] شیرانی، احمد. وثوقیان، حسن. تعیین ضریب تصحیح شمارش آشکارساز BF_3 با استفاده از کد محاسباتی MCNP و نتایج تجربی. هیجان‌های کنفرانس هسته‌ای ایران، پژوهشکده کاربرد پرتوها (یزد)، ۳ و ۴ اسفند (۱۳۹۰).
- [13] R. Pupheli. Purifying Coal for The Production of Nuclear Graphite. University of Pretoria, (2007).
- [14] A. Jones, G. Hall. Microstructural characterisation of nuclear grade graphite. Journal of Nuclear Materials 381 (2008) 152–158.
- [15] بنت، دی. جی. و تامسون، جی. آر. مبانی نیروگاه‌های هسته‌ای. ویرایش سوم، ترجمه رحیم کوهی فایق، انتشارات کوهرنگ، تهران (۱۳۸۷).